

УДК 532.592
 DOI: 10.15372/PMTF202415502

СВОБОДНОЕ ДВИЖЕНИЕ ЦИЛИНДРА ПОД ПОВЕРХНОСТЬЮ ГЛУБОКОЙ ЖИДКОСТИ

А. Е. Голиков, Н. И. Макаренко

Институт гидродинамики им. М. А. Лаврентьева СО РАН, Новосибирск, Россия
 E-mails: a.golikov@g.nsu.ru, makarenko@hydro.nsc.ru

Рассматривается нелинейная задача о неустановившемся движении кругового цилиндра в идеальной бесконечно глубокой жидкости под действием возникающих гидродинамических нагрузок. Используется метод сведения решения исходной математической задачи к решению эквивалентной интеграло-дифференциальной системы уравнений для функции, определяющей форму искомой свободной поверхности, для нормальной и тангенциальной составляющих скорости жидкости на ней и для неизвестной траектории движения цилиндра. Построена начальная по времени асимптотика решения, описывающего движение цилиндра из состояния покоя.

Ключевые слова: идеальная жидкость, свободная граница, круговой цилиндр, начальная асимптотика движения

Введение. Задача о движении цилиндра в идеальной жидкости является модельной гидродинамической задачей для изучения взаимодействия тела со свободной поверхностью. Этой задаче посвящено большое количество исследований, выполненных с использованием линейной теории волн [1–3]. В нелинейной постановке начальная стадия движения жидкости, вызванного заданным ускорением погруженного цилиндра, изучалась с помощью полуаналитических методов в работах [4–9]. Численные методы применялись при решении этой задачи в работах [10–13], а экспериментальное изучение проводилось в работах [14–16]. Аналитическому исследованию гидродинамических нагрузок на цилиндр посвящены работы [17, 18].

В данной работе исследуется совместное движение жидкости и свободноплавающего цилиндра. Выведена замкнутая система интеграло-дифференциальных уравнений, моделирующая движение цилиндра в точной нелинейной постановке. Построена начальная по времени асимптотика ее решения, описывающей всплытие и погружение цилиндра из состояния покоя под действием силы плавучести.

1. Уравнения движения жидкости. Рассматривается двумерное нестационарное безвихревое течение идеальной несжимаемой жидкости в поле силы тяжести. Исходными являются уравнения Эйлера для вектора скорости $\mathbf{u} = (U, V)$ и давления p , записанные в безразмерных переменных:

$$\begin{aligned} U_t + UU_x + VU_y + p_x &= 0, & V_t + UV_x + VV_y + p_y &= -1, \\ U_x + V_y &= 0, & U_y - V_x &= 0. \end{aligned} \tag{1}$$

Работа выполнена при финансовой поддержке Российского научного фонда (код проекта 21-71-20039).

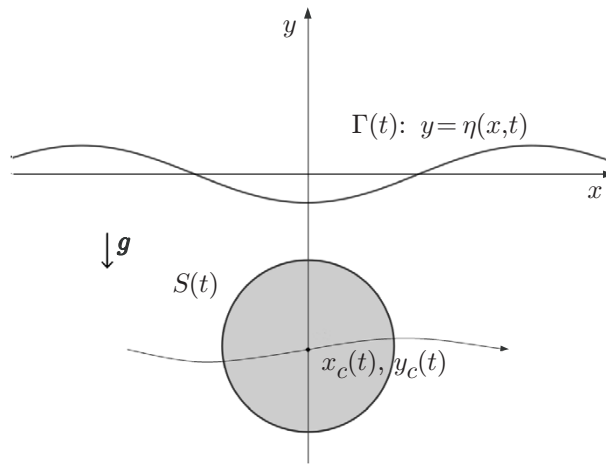


Рис. 1. Схема течения

Область течения в плоскости xOy (рис. 1) ограничена искомой свободной поверхностью $\Gamma(t)$: $y = \eta(x, t)$ (положение равновесия $y = 0$) и поверхностью кругового цилиндра $S(t)$: $(x - x_c(t))^2 + (y - y_c(t))^2 = r^2$. Поскольку цилиндр движется под действием возникающих гидродинамических нагрузок, траектория центра его сечения $\mathbf{x}_c(t) = (x_c(t), y_c(t))$ также заранее неизвестна и подлежит определению. Масштабы для введения безразмерных переменных выбираются таким образом, что все линейные размеры отнесены к известному расстоянию h между осью цилиндра в начальный момент времени $t = 0$ и невозмущенным уровнем свободной поверхности. При этом в качестве масштабов времени t , скорости жидкости \mathbf{u} и давления p принимаются величины $\sqrt{h/g}$, \sqrt{gh} и ρgh соответственно (ρ — плотность жидкости). Для цилиндра, полностью погруженного в жидкость, отношение $r = R/h$ размерного радиуса R к начальному заглублению оси h находится в диапазоне $0 < r < 1$. На свободной границе $\Gamma(t)$ должны выполняться кинематическое и динамическое условия

$$\eta_t + U\eta_x = V, \quad p = p_a/(\rho gh) = \text{const}, \quad (x, y) \in \Gamma(t), \quad (2)$$

где p_a — атмосферное давление. На границе цилиндра требуется выполнение условия непротекания

$$(\mathbf{u} - \dot{\mathbf{x}}_c(t)) \cdot \mathbf{n} = 0, \quad (x, y) \in S(t), \quad (3)$$

где \mathbf{n} — нормаль к поверхности цилиндра. Предполагается, что на бесконечности скорость жидкости стремится к нулю:

$$(U, V) \rightarrow (0, 0), \quad \eta \rightarrow 0, \quad x^2 + y^2 \rightarrow \infty.$$

В момент времени $t = 0$ задаются начальное положение цилиндра $\mathbf{x}_c(0)$ и его скорость $\dot{\mathbf{x}}_c(0)$, форма свободной поверхности и поле скоростей в области течения:

$$\eta(x, 0) = \eta_0(x), \quad \mathbf{u}(x, y, 0) = \mathbf{u}_0(x, y).$$

При этом начальные данные должны удовлетворять условиям согласования

$$\begin{aligned} U_{0x} + V_{0y} = 0, \quad U_{0y} - V_{0x} = 0, \quad y < \eta_0(x), \\ (\mathbf{u}_0 - \dot{\mathbf{x}}_c(0)) \cdot \mathbf{n}_0 = 0, \quad (x, y) \in S(0). \end{aligned}$$

Эти условия выполняются автоматически, в случае если цилиндр начинает движение с нулевой начальной скоростью в первоначально покоящейся жидкости:

$$\eta_0(x) \equiv 0, \quad \mathbf{u}_0(x, y) \equiv 0, \quad \dot{\mathbf{x}}_c(0) = 0 \quad (t = 0).$$

2. Редукция задачи к уравнениям на свободной границе. Исходные уравнения движения жидкости сводятся к равносильной системе граничных интегродифференциальных уравнений для функции $\eta(x, t)$, определяющей форму свободной поверхности, а также для касательной и нормальной скоростей жидкости u и v на кривой Γ :

$$u(x, t) = (U + \eta_x V)|_{y=\eta(x, t)}, \quad v(x, t) = (V - \eta_x U)|_{y=\eta(x, t)}.$$

Давление p исключается из рассмотрения с помощью динамического условия (2) путем проецирования векторного уравнения импульса в системе (1) на касательное направление $\tau = (1, \eta_x)$ к свободной границе $y = \eta(x, t)$. С учетом кинематического условия (2) отсюда получаем систему дифференциальных уравнений

$$\eta_t = v, \quad u_t + \frac{1}{2} \frac{\partial}{\partial x} \left(\frac{u^2 - 2\eta_x uv - v^2}{1 + \eta_x^2} \right) + \eta_x = 0. \quad (4)$$

Систему (4) дополняет граничное уравнение, которое порождается интегральным представлением комплексной скорости $F(z, t) = U - iV$, аналитической по $z = x + iy$ в двухсвязной области течения с границей $\Gamma \cup S$:

$$2\pi i F(z, t) = \int_{\Gamma(t)} \frac{F(\zeta, t) d\zeta}{\zeta - z} + \frac{r^2}{(z - z_c(t))^2} \overline{\int_{\Gamma(t)} \frac{F(\zeta, t) d\zeta}{\zeta - z_*}} + \frac{2\pi i r^2 \dot{z}_c(t)}{(z - z_c(t))^2}. \quad (5)$$

Здесь $z_* = z_c(t) + r^2 / (\bar{z} - \bar{z}_c(t))$ — инверсия точки z относительно окружности $S(t)$ радиусом r с центром $z_c(t) = x_c(t) + iy_c(t)$; черта означает комплексное сопряжение. В формуле (5) присутствуют интегралы только по свободной границе $\Gamma(t)$, которые согласно теореме Милн-Томсона об окружности обеспечивают выполнение условия непротекания (3) на движущемся цилиндре. Вещественное интегральное уравнение для функций u , v , η получается из комплексного соотношения (5) в пределе при $z \rightarrow z(x, t) = x + i\eta(x, t)$, $\zeta(s, t) = s + i\eta(s, t) \in \Gamma(t)$ и имеет вид

$$\pi v(x, t) + \text{v.p.} \int_{-\infty}^{\infty} A(x, s; t) v(s, t) ds = \text{v.p.} \int_{-\infty}^{+\infty} B(x, s; t) u(s, t) ds + v_d(x, t), \quad (6)$$

где *v.p.* — главное значение; A , B — ядра сингулярных операторов, задаваемые формулой

$$A(x, s; t) + iB(x, s; t) = \frac{iz_x(x, t)}{z(x, t) - \zeta(s, t)} + \frac{ir^2 \bar{z}_x(x, t)}{[\bar{z}(x, t) - \bar{z}_c(t)]^2 [z_*(x, t) - \zeta(s, t)]},$$

$z_*(x, t)$ — инверсия точки $z(x, t)$ относительно окружности $S(t)$; функция

$$v_d(x, t) = \text{Re} \left(\frac{2\pi i \dot{z}_c(t) z_x(x, t)}{z(x, t) - z_c(t)} \right)$$

является нормальной компонентой скорости на свободной поверхности, индуцируемой диполем, сосредоточенным на оси цилиндра $z = z_c(t)$.

В случае если начальное поле скоростей \mathbf{u}_0 имеет ненулевую циркуляцию $\gamma \neq 0$ вокруг цилиндра, в правую часть (5) входит дополнительное слагаемое $\gamma/(z - z_c)$ типа точечного вихря. В отсутствие циркуляции можно ввести потенциал φ для касательной скорости $u = \varphi_x$, который является граничным следом $\varphi(x, t) = \Phi(x, \eta(x, t), t)$ для однозначной функции — потенциала Φ поля скоростей жидкости $U = \Phi_x$, $V = \Phi_y$. Система (4), рассматриваемая для пары функций (η, φ) , представляет собой известную гамильтонову формулировку Захарова [19] задачи о волнах на воде. Аналитическая реализация действия

нелокального оператора Дирихле — Неймана $v = N(\eta)\varphi$ (нормальной производной) с помощью интегрального уравнения с ядрами, нелинейно зависящими от формы свободной поверхности η , предложена Л. В. Овсянниковым [20]. Модификация этого подхода применительно к задаче о погруженном в жидкости цилиндре с использованием представления (5) подробно обсуждалась в работах [5, 7, 8].

3. Уравнение движения цилиндра. Траектория центра масс $\mathbf{x} = \mathbf{x}_c(t)$ тела, движущегося в тяжелой жидкости, определяется обыкновенным дифференциальным уравнением

$$m\ddot{\mathbf{x}}_c = \mathbf{f}_H + \mathbf{f}_A + m\mathbf{g}, \quad (7)$$

где m — масса тела; \mathbf{f}_H — вектор гидродинамических реакций; \mathbf{f}_A — гидростатическая сила Архимеда; $\mathbf{g} = (0, -g)$ — вектор ускорения свободного падения. Для цилиндра, состоящего из однородного материала с плотностью ρ_c , центр масс $m = \pi\rho_c R^2$ совпадает с центром окружности $S(t)$ радиусом R . Тогда в безразмерных переменных, введенных ранее для системы (1), уравнение (7) записывается в виде

$$\pi r^2(\beta\ddot{\mathbf{x}}_c + (\beta - 1)\mathbf{e}_y) = \mathbf{f}_H, \quad \mathbf{f}_H = \int_{S(t)} p_H \mathbf{n} ds, \quad (8)$$

где $\beta = \rho_c/\rho$ — коэффициент плавучести цилиндра; p_H — негидростатическая часть полного давления p ; $\mathbf{e}_y = (0, 1)$ — орт оси Oy ; \mathbf{n} — единичная внешняя нормаль к окружности $S(t)$. С учетом аналитичности комплексной скорости $F(z, t)$ по переменной $z = x + iy$ уравнение (8) можно записать в комплексной форме. При нахождении вектора гидродинамических нагрузок $\mathbf{f}_H = (X, Y)$, действующих со стороны жидкости на цилиндр, используем формулу Седова (формулу (3.5) в [21. Гл. 1, § 3]), согласно которой

$$X + iY = \overline{\frac{i}{2} \int_{S(t)} F^2(z, t) dz + \frac{d}{dt} \left(\pi r^2 \dot{z}_c(t) + i \int_{S(t)} z F(z, t) dz \right)}. \quad (9)$$

Для вычисления контурных интегралов в формуле (9) применим представление (5) функции $F(z, t)$, которое содержит интегралы только по свободной границе $\Gamma(t)$. Раскладывая величину $z_* = z_c(t) + r^2 / \overline{(z - z_c(t))}$ в ряд по степеням параметра r , запишем соотношение (5) в виде мультипольного разложения

$$F(z, t) = H(z, t) + \frac{r^2 \dot{z}_c(t)}{(z - z_c(t))^2} - \frac{r^2}{(z - z_c(t))^2} \sum_{n=0}^{\infty} \frac{r^{2n} \overline{H^{(n)}(z_c(t), t)}}{(z - z_c(t))^n}, \quad (10)$$

где

$$H^{(n)}(z, t) = \frac{1}{2\pi i} \int_{\Gamma(t)} \frac{F(\zeta, t) d\zeta}{(\zeta - z)^{n+1}}, \quad H(z, t) \stackrel{\text{def}}{=} H^{(0)}(z, t). \quad (11)$$

Из определения (11) коэффициентов $H^{(n)}$ следует, что функции $H^{(n)}(z, t)$ аналитичны по z всюду в области под свободной границей $\text{Im } z < \eta(x, t)$. Поэтому согласно теореме о вычетах для них справедливы равенства

$$\frac{1}{2\pi i} \int_{S(t)} \frac{H(z, t)}{(z - z_c(t))^{n+2}} dz = \underset{z=z_c(t)}{\text{Res}} \left(\frac{H(z, t)}{(z - z_c(t))^{n+2}} \right) = H^{(n+1)}(z_c(t), t).$$

Подставляя выражение (10) в формулу (9) и аналогичным образом вычисляя возникающие при этом интегралы по окружности $S(t)$, получаем формулу для нагрузок

$$X + iY = \pi r^2 \left[-\ddot{z}_c(t) + 2 \overline{H'_t(z_c(t), t)} + 2G(z_c(t), t) \right], \quad (12)$$

где функция G имеет вид

$$G(z_c(t), t) = \sum_{n=0}^{\infty} r^{2n} H^{(n)}(z_c(t), t) \overline{H^{(n+1)}(z_c(t), t)}. \quad (13)$$

Вторая производная \ddot{z}_c в формуле (12) учитывает присоединенную массу цилиндра при его нестационарном движении в неограниченной жидкости. Слагаемое в (12) с производной H'_t , соответствующее интегралу с $zF(z, t)$ в формуле Седова (9), также учитывает неустановившийся характер процесса. Функция G , билинейно зависящая от коэффициентов $H^{(n)}$, представляет собой интеграл от квадрата F^2 в правой части (9), который также присутствует в известной формуле Блазиуса — Чаплыгина для нелинейных нагрузок в случае стационарного движения. Основным свойством представления (12) является его зависимость только от функции η , определяющей мгновенную форму свободной границы $\Gamma(t)$, поля скоростей (u, v) на ней и траектории движения центра цилиндра $z_c(t)$. Таким образом, уравнение (8), замыкающее систему граничных интегродифференциальных уравнений (4), (6), принимает окончательную форму

$$(1 + \beta) \ddot{z}_c(t) - 2 \overline{H'_t(z_c(t), t)} - 2G(z_c(t), t) = i(1 - \beta), \quad (14)$$

где функции H, G определены выше формулами (11), (13). Заметим, что полученная система уравнений (4), (6), (14) равносильна исходной нелинейной задаче о движении незакрепленного цилиндра под свободной поверхностью в точной постановке. При выводе этой системы не принимались упрощающие предположения.

4. Асимптотика движения из состояния покоя. Рассмотрим совместное движение жидкости и кругового цилиндра с плавучестью $\beta \neq 1$ из состояния покоя при начальных данных

$$\eta(x, 0) = u(x, 0) = v(x, 0) = 0, \quad z_c(0) = -i, \quad \dot{z}_c(0) = 0.$$

Решение уравнений (4), (6), (14) будем искать в виде степенных рядов

$$\begin{aligned} \eta &= t^2 \eta_2(x) + t^3 \eta_3(x) + t^4 \eta_4(x) + \dots, & u &= t^3 u_3(x) + t^4 u_4(x) + \dots, \\ v &= t v_1(x) + t^2 v_2(x) + t^3 v_3(x) + t^4 v_4(x) + \dots, & z_c(t) &= -i + c_2 t^2 + c_3 t^3 + c_4 t^4 + \dots \end{aligned}$$

с вещественными функциональными коэффициентами η_n, u_n, v_n и комплексными числовыми коэффициентами $c_n = a_n + ib_n$. В силу дифференциальных уравнений (4) коэффициенты рядов для функций η, u, v связаны рекуррентными соотношениями

$$\eta_{n+1} = \frac{v_n}{n+1} \quad (n \geq 1), \quad u_3 = \frac{1}{6} (v_1^2 - v_1)_x, \quad u_4 = \frac{1}{4} (v_1 v_2)_x - \frac{1}{12} v_{2x}, \quad \dots$$

таким образом, что ряды для функций η, u однозначно определены, если известны коэффициенты разложения нормальной скорости v . В свою очередь, коэффициенты v_n находятся из граничного интегрального уравнения (6), которое дает цепочку интегральных уравнений Фредгольма второго рода

$$\pi v_n(x) + r^2 \text{v.p.} \int_{-\infty}^{\infty} \frac{(1 - r^2 p(x)) q'(x) - (s - r^2 q(x)) p'(x)}{(1 - r^2 p(x))^2 + (s - r^2 q(x))^2} v_n(s) = f_n(x) \quad (15)$$

с ядрами Пуассона

$$p(x) = \frac{1}{1 + x^2}, \quad q(x) = \frac{x}{1 + x^2} \quad (16)$$

и правыми частями

$$\begin{aligned} f_1(x) &= 4r^2(q'(x)b_2 - p'(x)a_2), \\ f_n &= f_n(v_1, \dots, v_{n-1}; a_2, b_2, \dots, a_{n+1}, b_{n+1}), \quad n \geq 2. \end{aligned}$$

Таким образом, последовательность уравнений (15) является рекуррентной относительно искомых коэффициентов v_n , но не обладает таким свойством по отношению к коэффициентам a_n, b_n разложения функции z_c . Однако это не препятствует построению решения, поскольку интегродифференциальное уравнение (14) для $z_c(t)$ имеет второй порядок по t , что в конечном счете обеспечивает рекуррентность всего процесса. Далее решение v_n уравнения (15) строится в виде ряда по степеням параметра r (безразмерный радиус цилиндра). В результате, пренебрегая членами порядка r^6 , получаем следующие приближенные выражения для коэффициентов v_n , содержащие ядра Пуассона (16) и неизвестные коэффициенты a_n, b_n разложения функции $z_c(t)$:

$$\begin{aligned} v_1(x) &= r^2(4 - r^2)(q'(x)b_2 - p'(x)a_2), \quad v_2(x) = \frac{3}{2}r^2(4 - r^2)(q'(x)b_3 - p'(x)a_3), \\ v_3(x) &= r^2(4 - r^2)\left[2q'(x)b_4 - 2p'(x)a_4 + p''(x)\left(\frac{1}{6}b_2 + a_2^2 - b_2^2\right) + q''(x)\left(\frac{1}{6}a_2 - 2a_2b_2\right)\right] + \\ &\quad + r^4\left[\frac{4}{9}(p^{(4)}(x)(a_2^2 - b_2^2) - 2a_2b_2q^{(4)}(x)) + p'(x)\left(2a_2b_2 - \frac{1}{3}a_2\right) + \right. \\ &\quad \left.+ q'(x)\left(a_2^2 - b_2^2 + \frac{1}{3}b_2\right) + \frac{4}{3}(a_2^2 + b_2^2)\left(p''(x) - \frac{7}{4}q'(x)\right)\right]. \end{aligned}$$

Последующие аналитические преобразования состоят в вычислении в явном виде интегралов $H^{(n)}(z, t)$ вида (11), в которые подставляются найденные асимптотические выражения для η, u, v , содержащие ядра Пуассона p и q , определенные формулой (16), и коэффициенты $c_n = a_n + ib_n$ разложения функции $z_c(t)$. Фактически данная процедура сводится к вычислению интегралов мультипольного вида от произведений, степеней и производных функций p и q , откуда следует асимптотическая формула

$$\begin{aligned} \frac{H^{(n)}(z, t)}{n+1} &= (-1)^{n+1}tr^2\left(1 - \frac{r^2}{4}\right)\left(\frac{2\bar{c}_2 + 3t\bar{c}_3 + 4t^2\bar{c}_4}{(z - i)^{n+2}} + t^2\frac{2(n+2)(i\bar{c}_2 + 3\bar{c}_2^2)}{3(z - i)^{n+3}}\right) + \\ &\quad + (-1)^{n+1}t^3r^4\left(\frac{\bar{c}_2 - 3i\bar{c}_2^2 + 11i|c_2|^2}{6(z - i)^{n+2}} + \frac{4(n+2)|c_2|^2}{3(z - i)^{n+3}} + \frac{4(n+2)(n+3)(n+4)\bar{c}_2^2}{9(z - i)^{n+5}}\right) + \\ &\quad + O(t^4 + r^6). \end{aligned}$$

Аналогичным образом выводятся асимптотические формулы для производных функции $H^{(n)}(z, t)$ по z и t , которые могут быть найдены путем формального дифференцирования полученного выше выражения. В результате с учетом этих вычислений из соотношения (12) получаем следующую зависимость гидродинамических нагрузок от времени t :

$$\begin{aligned} \frac{X + iY}{\pi r^2} &= -\ddot{z}_c(t) - 4r^2\left(1 - \frac{r^2}{4}\right)\left(\frac{c_2 + 3tc_3 + 6t^2c_4}{(\bar{z}_c(t) + i)^2} + \frac{2t^2(3c_2^2 - ic_2)}{(\bar{z}_c(t) + i)^3}\right) - \\ &\quad - t^2r^4\left(\frac{c_2 + 3ic_2^2 - 11i|c_2|^2}{(\bar{z}_c(t) + i)^2} + \frac{16|c_2|^2}{(\bar{z}_c(t) + i)^3} + \frac{64c_2^2}{(\bar{z}_c(t) + i)^5} + \frac{16|c_2|^2}{(\bar{z}_c(t) + i)^3(z_c(t) - i)^2}\right) + \\ &\quad + O(t^3 + r^6). \quad (17) \end{aligned}$$

В знаменателях дробей указанного частичного разложения при малых временах t еще содержится неизвестная функция $z_c(t)$ в конечном виде (т. е. не разложенная по степеням t),

что обусловлено структурой мультипольных слагаемых. Используя выражения (17) для нагрузок в уравнении (14) и сравнивая степени в полном разложении по t , находим коэффициенты $a_2 = a_3 = a_4 = 0$ и

$$b_2 = \frac{1 - \beta}{2(1 + \beta) - r^2(1 - r^2/4)}, \quad b_3 = 0, \quad b_4 = b_2 \frac{r^2}{12} \frac{8b_2(1 - 2r^2) - (2 - r^2)}{2(1 + \beta) - r^2(1 - r^2/4)} \quad (18)$$

для искомого закона движения цилиндра $z = z_c(t)$. Таким образом, процедура построения решения полностью замыкается, и для неизвестной формы свободной поверхности η получаем приближенную формулу

$$\begin{aligned} \eta(x, t) = & t^2 r^2 (4 - r^2) \left(\frac{(b_2 + t^2 b_4)(1 - x^2)}{2(1 + x^2)^2} + t^2 \frac{b_2(6b_2 - 1)(1 - 3x^2)}{12(1 + x^2)^3} \right) + \\ & + t^4 r^4 \left(\frac{b_2(1 - 10b_2)(1 - x^2)}{12(1 + x^2)^2} + \frac{2b_2^2(3x^2 - 1)}{3(1 + x^2)^3} - \frac{8b_2^2(5x^4 - 10x^2 + 1)}{3(1 + x^2)^5} \right) \end{aligned} \quad (19)$$

с коэффициентами b_2, b_4 , указанными в (18). При нейтральной плавучести $\beta = 1$ согласно (18) имеем $b_2 = b_4 = 0$, следовательно, в этом случае цилиндр остается в состоянии покоя при $t > 0$, а свободная граница сохраняет положение равновесия $\eta(x, t) \equiv 0$.

5. Результаты расчетов и их обсуждение. На рис. 2 представлены полученные по формуле (19) характерные формы свободной поверхности в фиксированный момент времени $t = 0,75$ в случае свободного погружения цилиндра радиусом $r = 0,5$ при различных значениях коэффициента плавучести $\beta > 1$. Для цилиндра с плавучестью $\beta = 2$ видны две сходящиеся волны, которые скатываются навстречу друг другу при первоначальном прогибе свободной поверхности, движущейся вниз вслед за телом. Указанный процесс образования сходящихся волн отмечался в работах [7, 8] в случае вынужденного погружения цилиндра с постоянным ускорением. Формы свободной поверхности, показанные на рис. 2 для значений коэффициента плавучести $\beta = 10, 20$, определяют последующие стадии формирования всплеска над погружающимся телом.

Также представляет интерес сравнение решения (19) с известным решением, полученным в работах [7, 8] для задачи о движении цилиндра с заданным постоянным ускорением. При построении такого решения в случае вертикального движения тела рекуррентный процесс, описанный в п. 4, завершается после определения коэффициентов η_n, u_n, v_n . В этом случае свободная поверхность жидкости имеет форму

$$\begin{aligned} \eta_*(x, t) = & t^2 r^2 (4 - r^2) \frac{x^2 - 1}{2(1 + x^2)^2} - t^4 r^2 \frac{(\lambda + 6)(3x^2 - 1)}{3(1 + x^2)^3} + \\ & + \frac{t^4 r^4}{12} \left(\frac{(\lambda + 10)(x^2 - 1)}{(1 + x^2)^2} + \frac{(\lambda + 14)(3x^2 - 1)}{(1 + x^2)^3} - 32 \frac{5x^4 - 10x^2 + 1}{(1 + x^2)^5} \right), \end{aligned} \quad (20)$$

где безразмерный параметр $\lambda = 2g/w$ определяется известным постоянным ускорением w .

На рис. 3 приведены решения (19), (20) в случае, когда заданное ускорение погружающегося цилиндра совпадает с собственным начальным ускорением свободного цилиндра с коэффициентом плавучести $\beta > 1$. Увеличивающееся со временем различие развития фаз нестационарного движения жидкости объясняется неодинаковым действием сил инерции в случаях постоянного и переменного ускорения тела. Действительно, согласно формулам (17), (18) гидродинамические нагрузки на цилиндр при его ускоренном вертикальном движении определяются приближенной формулой

$$\frac{X + iY}{\pi r^2} = \left[-1 + \frac{r^2}{2} \left(1 - \frac{r^2}{4} \right) \right] \ddot{z}_c(t) + O(r^6).$$

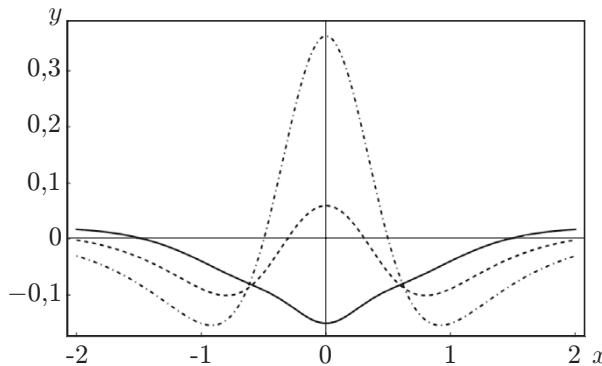


Рис. 2

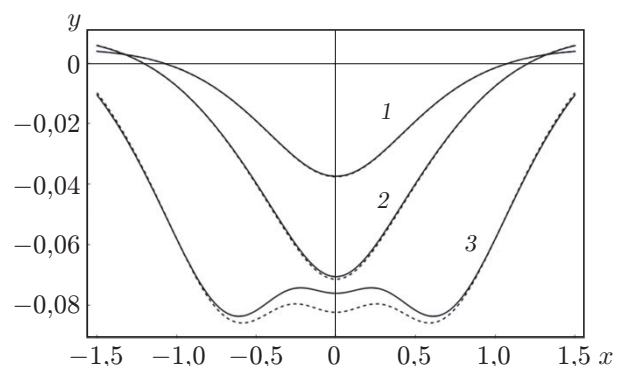


Рис. 3

Рис. 2. Форма поверхности жидкости при погружении свободного цилиндра радиусом $r = 0,5$ в момент времени $t = 0,75$:
сплошная линия — $\beta = 2$, пунктируемая — $\beta = 10$, штрихпунктирная — $\beta = 20$

Рис. 3. Поверхность жидкости при свободном (решение (19)) (сплошные линии) и вынужденном (решение (20) с $\lambda = 5$) (пунктируемые линии) погружении цилиндра радиусом $r = 0,5$ в различные моменты времени:
1 — $t = 0,3$, 2 — $t = 0,45$, 3 — $t = 0,75$

Как отмечалось при выводе уравнения (14), главный член этой асимптотики учитывает присоединенную массу цилиндра при его движении в неограниченном объеме жидкости. Слагаемые r^2 и r^4 в правой части представляют собой поправку к присоединенной массе в случае движения тела вблизи свободной границы. Приведенные выше выражения для этих корректирующих членов хорошо согласуются с известным выражением в работе [22].

Заключение. В работе исследована нелинейная задача о движении идеальной жидкости со свободной границей при наличии полностью погруженного в нее кругового цилиндра. Выведена эквивалентная замкнутая система интегродифференциальных уравнений, описывающая совместное движение жидкости и цилиндра с учетом действующих на тело гидродинамических нагрузок. Построено асимптотическое решение, моделирующее начальную стадию движения в случае всплыивания или погружения цилиндра с плавучестью, отличающейся от нейтральной.

ЛИТЕРАТУРА

- Сретенский Л. Н. Теория волновых движений жидкости. М.: Наука, 1977.
- Степанянц Ю. А., Струрова И. В., Теодорович Э. В. Линейная теория генерации поверхностных и внутренних волн // Итоги науки и техники. Сер. Механика жидкости и газа. М.: ВИНИТИ, 1987. Т. 21. С. 92–179.
- Mei C. C. Theory and applications of ocean surface waves. Pt 1. Linear aspects / C. C. Mei, M. Stiassnie, D. K.-P. Yue. Singapore: World Scientific, 2005.
- Tyvand P. A., Miloh T. Free-surface flow generated by a small submerged circular cylinder starting from the rest // J. Fluid Mech. 1995. V. 286. P. 103–116.
- Makarenko N. I. Nonlinear interaction of submerged cylinder with free surface // Trans. ASME. J. Offshore Mech. Arctic Engng. 2003. V. 125, N 1. P. 72–75.
- Норкин М. В. Образование каверны на начальном этапе движения кругового цилиндра в жидкости с постоянным ускорением // ПМТФ. 2012. Т. 53, № 4. С. 74–82.

7. **Kostikov V. K., Makarenko N. I.** Unsteady free surface flow above the moving circular cylinder // J. Engng Math. 2018. V. 112. P. 1–16.
8. **Martin Pardo R., Nedic J.** Free-surface disturbances due to the submersion of a cylindrical obstacle // J. Fluid Mech. 2021. V. 926. A1. DOI: 10.1017/jfm.2021.462.
9. **Tyvand P. A., Kostikov V. K.** Impulsive acceleration of a circular cylinder under free surface // J. Fluid Mech. 2023. V. 269. A12.
10. **Haussling H. J., Coleman R. M.** Nonlinear water waves generated by an accelerated circular cylinder // J. Fluid Mech. 1979. V. 461. P. 343–364.
11. **Горлов С. И.** Численные методы решения нелинейных нестационарных задач генерации волн погруженным в жидкость телом // Вычисл. технологии. 1998. Т. 3, № 6. С. 9–20.
12. **Zhu X., Faltinsen O. M., Hu C.** Water entry and exit of a horizontal circular cylinder // Trans. ASME. J. Offshore Mech. Arctic Engng. 2007. V. 129, N 4. P. 253–264.
13. **Guerber E., Benoit M., Grilli S., Buvat C.** A fully nonlinear implicit model for wave interaction with submerged structures in forced or free motion // Engng Anal. Boundary Elements. 2012. V. 36, N 7. P. 1151–1163.
14. **Greenhow M., Lin W.-M.** Nonlinear free surface effects: experiments and theory: Tech. Rep. / Massachusetts Inst. of Tech. N 83-19. Cambridge, 1983.
15. **Greenhow M., Moyo S.** Free motion of a cylinder moving below and through a free surface // Appl. Ocean Res. 2000. V. 22. P. 31–44.
16. **Martin Pardo R., Barua N., Lisak D., Nedic J.** Jetting onset on a liquid surface accelerated past a submerged cylinder // Flow. 2022. V. 2. E36. DOI: 10.1017/flo.2022.29.
17. **Wu G. X.** Hydrodynamic forces on a submerged circular cylinder undergoing large-amplitude motion // J. Fluid Mech. 1993. V. 254. P. 41–58.
18. **Голиков А. Е., Макаренко Н. И.** Гидродинамические нагрузки при разгоне цилиндра под свободной поверхностью // ПМТФ. 2022. Т. 63, № 5. С. 89–99.
19. **Захаров В. Е.** Устойчивость периодических волн конечной амплитуды на поверхности глубокой жидкости // ПМТФ. 1968. № 2. С. 86–94.
20. **Овсянников Л. В.** Нелинейные проблемы теории поверхностных и внутренних волн / Л. В. Овсянников, Н. И. Макаренко, В. И. Налимов, П. И. Плотников, В. Ю. Ляпидевский, И. В. Струрова, В. И. Букреев, В. А. Владимиров. Новосибирск: Наука. Сиб. отд-ние, 1985.
21. **Седов Л. И.** Плоские задачи гидродинамики и аэrodинамики. М.: Наука, 1980.
22. **Короткин А. И.** Присоединенные массы судостроительных конструкций: Справ. СПб.: Мор Вест, 2007.

Поступила в редакцию 2/V 2024 г.,
после доработки — 12/V 2024 г.
Принята к публикации 3/VI 2024 г.